

S.C.R.에 依한 單相誘導電動機의 運轉特性에 關해서

論 文

17~4~1

A Study on the Running Characteristics of the Single Phase Induction Motor by S.C.R.

元 種 洙*
(Jong Swoo Won)

[ABSTRACT]

In recent years the development of the SCR has made possible the control of the power system. It is one example that the speed control of the induction motor can be done by changing the frequency with the S.C.R.

This paper is devoted primarily to a study of the running characteristics of the single phase induction motor through the experimental and theoretical methods when the speed of the motor is controlled by varying the conduction period in current with S.C.R. under the constant frequency.

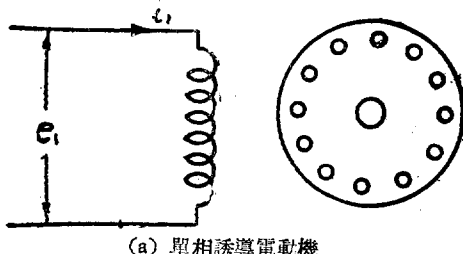
We conclude from the experiments that the adjustment of the phase angle in current is equivalent to the change of the supply voltage to the motor. Therefore, the speed control of the motor such as a fan duty motor is possible by this methods.

[1] 序 論

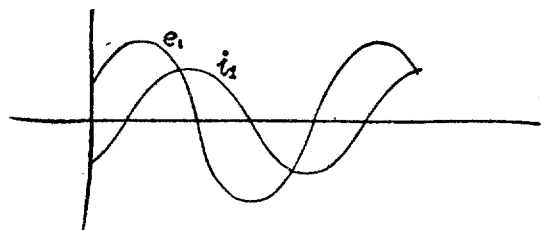
從來의 電力制御系統에서는 Thyratron 은 電流容量이
적고 効率도 좋지 못하여 많은 電力を 要求하는 制御系
統에는 거의 使用되지 못하였으나 近來에 와서 S.C.R.의
發達은 大電力系統의 制御를 可能케 하였다. 그中の 한
例로서 誘導電動機의 速度制御를 들수 있다. 即 S.C.R.
을 利用한 周波數變換器를 使用하는 速度制御와 電源의
周波數는 一定하게 維持하고 단지 電流가 흐르는 時間을
變化하여 調整하는 두 方法이 있으며 前者は 回路가 복雜
하고 價格이 高價인 반면 後者は 回路가 簡單하고 價格
이廉價이므로 特殊한 負荷(例 선풍기)를 가진 單相誘導
電動機의 運轉에 배우 適合한 回路라고 생각되어 本論文
에서는 이 回路에 對한 運轉特性을 取扱하였다.

[2] 理 論

그림 1-(a)와 같아 單相誘導電動機의 一次卷線에



*正會員：서울大學校工科大學工業教育學科



(b) 單相誘導電動機의 一次電壓과 一次電流
그림 1

$$e_1 = E_m \sin(\omega t + \varphi_1) \quad (1)$$

의 起電力を 印加하여 回轉子가 스리프 s로 回轉하고 있
을때 一次電壓과 一次電流와의 關係는 그림 1-(b)와 같
다. 그리고 여기서 起動卷線回路는 생략하였다.

이때 等價回路를 그리면 그림 2와 같아 된다. 여기서

r_{1m} : 一次卷線抵抗

x_{1m} : 一次漏洩리액턴스

r_2 : 二次卷線抵抗

x_2 : 二次漏洩리액턴스

x_φ 磁化리액턴스

다음 그림 3과 같이 一次卷線에 두개의 S.C.R. 을 연
결하고 Gate의 入力位相을 조정하여 그의 導電角(condi
ction starting angle)을 α 로 하였을때 電壓, 電流관계
는 그림 4와 같아 된다. 一次電流에 依한 S.C.R.의 電
壓降下를 無視하면

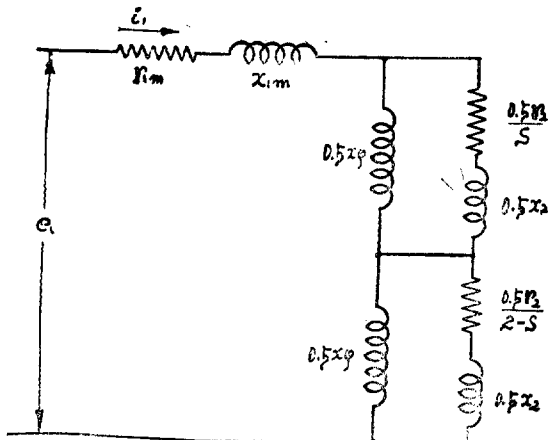


그림 2 單相誘導電動機의 等價回路
Fig. 2 Equivalent circuit of single phase induction motor

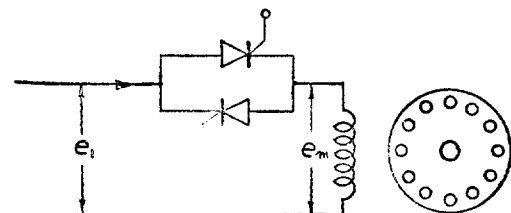


그림 3 實驗回路圖
Fig. 3 Connection diagram in the experiment

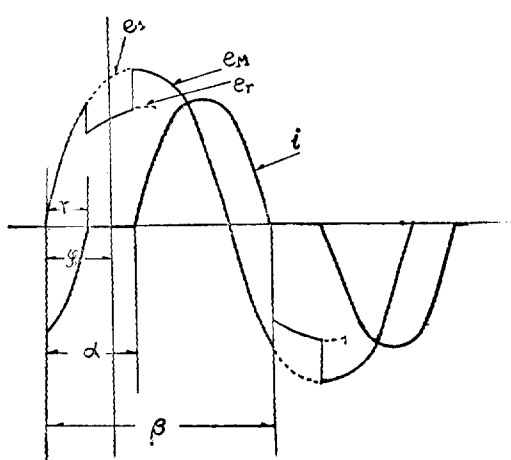


그림 4 導電角이 α 일 때 電壓電流
Fig. 4 Current and voltage curves for the case when the conduction starting angle is α .

$$\left. \begin{aligned} e_M &= e_1 = E_m \sin(\omega t + \varphi_1), \quad \alpha - \varphi_1 \leq \omega t \leq \beta - \varphi_1 \\ e_M &= e_r, \quad \gamma - \varphi_1 \leq \omega t \leq \alpha - \varphi_1 \end{aligned} \right\} \quad (2)$$

여기서 e_r 는 一次電流가 零이 되는 瞬間 二次(回轉子)卷線에 貯蓄된 $\frac{1}{2}L_2 I_2^2$ 의 에너지에 依하여 一次卷線에 誘起되는 電壓이다. 即 二次電流 i_2 및 空隙磁束 ϕ_2 는 다음式과 같다.

$$\left. \begin{aligned} i_2 &= I_2 e^{-r_2 t / L_2} \\ \phi_2 &= \phi_2 e^{-r_2 t / L_2} \end{aligned} \right\} \quad (3)$$

磁束 ϕ_2 는 回轉子와 一起에 回轉하므로 一次誘起電壓 e_r 는

$$e_r = e_{rs} + e_{rT} \quad (4)$$

이 다. e_{rs} 는 ϕ_2 의 回轉에 依한 速度起電力(Speed EMF)이며 回轉子의 同期速度를 ω_s , 回轉子의 回轉速度를 ω_r 라 하면

$$\left. \begin{aligned} e_{rs} &= \frac{\omega_r}{\omega_s} E_{rm} e^{-r_2 t / L_2} \sin(\omega_r t + \varphi_2) \\ \omega_r &= \omega_s(1-s) \end{aligned} \right\} \quad (5)$$

이 되고 E_{rm} 은 回轉子가 同期速度로 回轉한다고 생각할 때 一次에 誘起되는 電壓이며 二次抵抗이 적은 경우에는 供給電壓보다 多少 적은 값이다. 또 e_{rT} 는 ϕ_2 의 減衰에 依한 變壓起電力(Transformer EMF)이며 一次卷線과 二次卷線사이의 相互인ductance를 M 라 하면

$$\begin{aligned} e_{rT} &= M \frac{di_2}{dt} \\ &= - \frac{Mr_2}{L_2} I_2 e^{-r_2 t / L_2} \\ &= - E_r e^{-r_2 t / L_2} \end{aligned} \quad (6)$$

이 며 二次抵抗이 적은 경우에는 無視된다. $\alpha - \varphi_1 \leq \omega t \leq \beta - \varphi_1$ 間에 一次回路에 流하는 電流는 아래의 微分方程式을 滿足한다.

$$e_M + e_{rs} + e_{rT} = L \frac{di_1}{dt} + R i_1 \quad (7)$$

一般으로 誘導電動機는 二次抵抗이 적으므로 e_{rT} 를 無視하면

$$\begin{aligned} E_m \sin(\omega t + \varphi_1) + \frac{\omega_r}{\omega_s} e^{-r_2 t / L_2} E_{rm} \sin(\omega_r t + \varphi_2) \\ = L \frac{di_1}{dt} + R i_1 \end{aligned} \quad (8)$$

여기서

$$R = r_{1m} + 0.5R_f + 0.5R_b$$

$$\omega L = x_{1m} + 0.5X_f + 0.5X_b$$

$$R_f = \frac{x_\varphi^2}{x_{22}} - \frac{1}{sQ_2 + 1/sQ_1}$$

$$X_f = \frac{x_2 x_\varphi}{x_{22}} - \frac{R_f}{sQ_2}$$

$$R_b = \frac{r_2}{2-s} \left(\frac{x_\varphi}{x_{22}} \right)^2$$

$$X_b = \frac{x_2 x_\varphi}{x_2} + \frac{R_b}{(2-s)Q_2}$$

$$x_{22} = x_2 + x_\varphi$$

$$Q_2 = \frac{x_{22}}{r_2}$$

이 때,

(8) 式으로 부터 電流를 求하면

$$i_1(t) = \frac{E_m \omega}{L(a_0^2 + \omega^2)^{\frac{1}{2}}} \left(\frac{a_0 - a_3}{a_3^2 + \omega^2} e^{-a_3 t} \right. \\ \left. + \frac{1}{\omega} \left(\frac{a_0^2 + \omega^2}{a_3^2 + \omega^2} \right)^{\frac{1}{2}} \sin(\omega t + \phi_1) \right) \\ + \frac{\omega_r}{\omega} \frac{E_m}{L} \frac{\omega_r}{\{(a_1 - a_2)^2 + \omega_r^2\}^{\frac{1}{2}}} \\ \times \left[\frac{a_1 - \beta}{(a_2 - a_3)^2 + \omega_r^2} e^{-\beta t} \right. \\ \left. + \frac{1}{\omega_r} \left\{ \frac{(a_1 - a_2)^2 + \omega_r^2}{(a_3 - a_2)^2 + \omega_r^2} \right\}^{\frac{1}{2}} e^{-\alpha t} \sin(\omega_r t + \phi_2) \right] \quad (9)$$

이 때,

여기서

$$a_0 = \frac{\omega}{\tan \varphi_1}$$

$$a_1 = \frac{\omega_r}{\tan \varphi_2} + a_2$$

$$a_2 = \frac{r_2}{L_2}, \quad a_3 = \frac{R}{L}$$

$$\phi_1 = \varphi_1 - \tan^{-1} \frac{\omega}{a_3}$$

$$\phi_2 = \varphi_2 - \tan^{-1} \frac{\omega_r}{a_3 - a_2}$$

그리므로 一次電流의 實効值 I_1 은

$$I_1 = \sqrt{\frac{\omega}{\pi} \int_{(\alpha-\varphi_1)/\omega}^{(\beta-\varphi_1)/\omega} i_1^2(t) dt} \quad (10)$$

이 된다.

電動機에 加해진 電壓의 實効值 E_1 은

$$E_1 = \sqrt{\frac{\omega}{\pi} \int_{(\alpha-\varphi_1)/\omega}^{(\beta-\varphi_1)/\omega} E_m^2 \sin^2(\omega t + \varphi_1) dt} \quad (11)$$

이 때, 다음에 電動機의 平均入力 W_1 은

$$W_1 = \frac{\omega}{\pi} \int_{(\alpha-\varphi_1)/\omega}^{(\beta-\varphi_1)/\omega} i_1(t) e_1(t) dt \quad (12)$$

또 一次功率 $\cos \gamma$ 는

$$\cos \gamma = \frac{W_1}{E_1 I_1} \quad (13)$$

이 된다.

볼크 T 는

$$T = \frac{0.5}{\omega_s} I_1^2 (R_f - R_b) \quad (14)$$

이 때, 効率 η 는

$$\eta = \frac{\omega_s T}{W_1} = \frac{(1-s)\omega_s T}{W_1} \quad (15)$$

이 때,

[3] 實驗

(1) 負荷試驗

使用한 電動機는 115V $\frac{3}{4}$ HP, $60 \text{ } \circ\circ$ 單相誘導電動機이며 S.C.R. 은 OC41 을 使用하였다.

電動機定數는

$$r_{1m} = 0.538 [\Omega]$$

$$x_{1m} = 0.803 "$$

$$r_2 = 0.828 "$$

$$x_2 = 0.803 "$$

$$x_\varphi = 18.81 "$$

이 고 볼크는 分數馬力電動力計(Fractional horse power dynamometer)로 測定하였다. S.C.R. 의 導電角(Conduction starting angle)을 變化시켰을 때의 各量들은 図示하면 다음과 같다. 그림 5, 그림 6, 그림 7에서 線은 실측치이고 “△”는 各各式 (9), (12), (14), (15)로부터 計算한 理論值이다. 그림 8은 $\alpha=90^\circ$, Slip=0.04 $T_L=4[N-m]$ 일 때의 電壓曲線(a), 電流曲線(b)를 各各 示す.

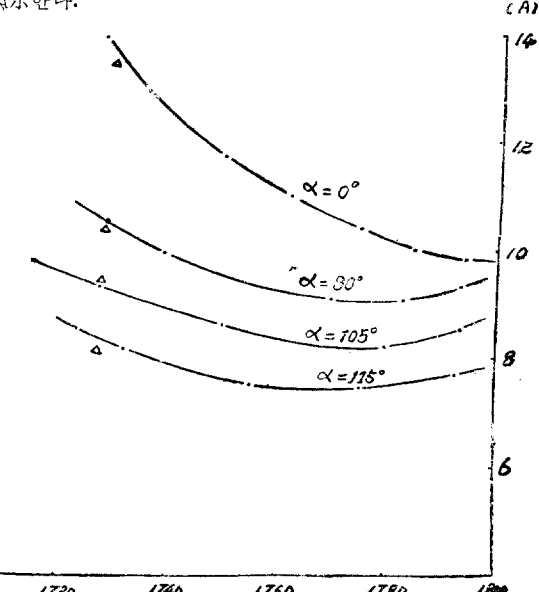


그림 5 速度—一次電流

Fig. 5 Speed-primary current characteristics

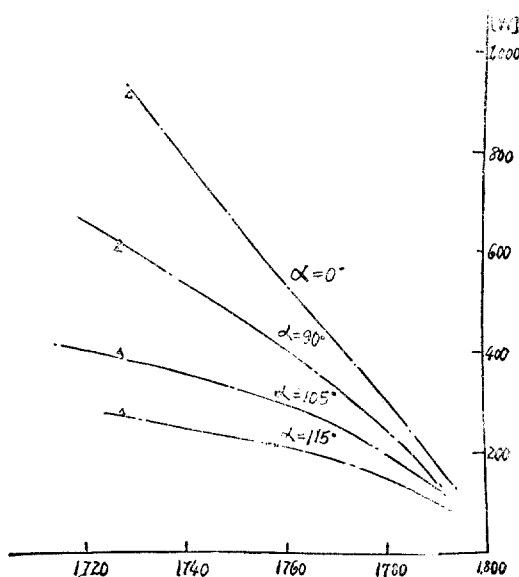


그림 6 속도—一次入力
Fig. 6 Speed—primary input characteristics

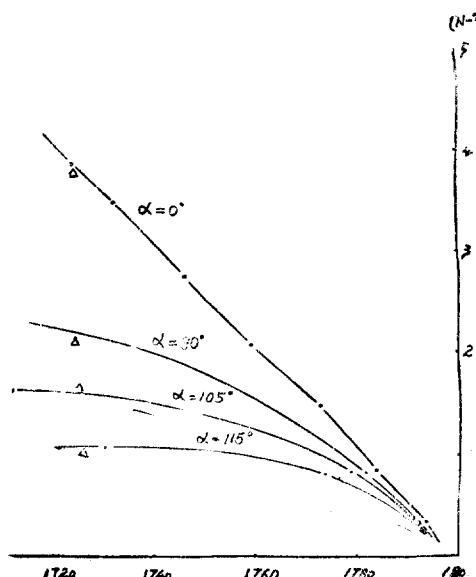


그림 7 속도—トルク
Fig. 7 Speed—torque characteristics

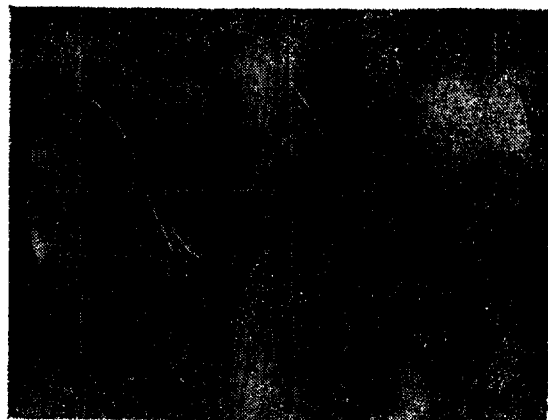


그림 8-(a) $\alpha = 90^\circ$, Slip = 0.04 $T_L = 4[N \cdot m]$ 에서
의 電壓曲線
Fig. 8-(a) Voltage curve at $\alpha = 90^\circ$, slip = 0.04
and $T_L = 4[N \cdot m]$

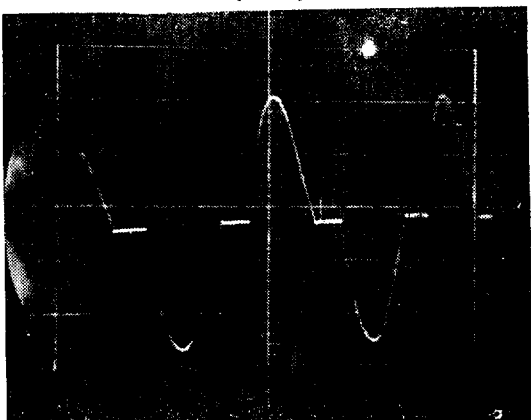


그림 8-(b) $\alpha = 90^\circ$, Slip = 0.04 $T_L = 4[N \cdot m]$ 에서
의 電流曲線
Fig. 8-(b) Current Curve at $\alpha = 90^\circ$, slip = 0.04
and $T_L = 4[N \cdot m]$

k	鐵損 (W)
$0 \sim 15^\circ$	0.5
$15 \sim 30^\circ$	2.0
$30 \sim 45^\circ$	5.1
$45 \sim 60^\circ$	10.0
$60 \sim 75^\circ$	12.2
$75 \sim 90^\circ$	15.2

A graph showing the variation of iron loss with the conduction starting angle k . The x-axis represents k from 0 to 90 degrees. The y-axis represents iron loss in W. The curve starts at 0.5 W for $k = 0^\circ$, rises to a peak of about 15.2 W at $k = 90^\circ$, and has a small secondary peak around $k = 60^\circ$.

그림 9. 導電角變化時 鐵損變化例
Fig. 9. An example of iron loss variation for the case
when conduction starting angle is varied.

(2) 鐵損試驗

S.C.R.의 導電角이 變化함에 따라 電動機의 固定子에
電壓이 印加되지 않는期間이 變化하므로 固定子 鐵心의

鐵損도變化한다.

그림 9는 導電角을 變化 시켰을때의 鐵損의 變化를 測定한 것이다.

無負荷損失은 120[W]이고 그중 鐵損 90[W], 風損 및 機械損은 30[W]이다.

[4] 檢 計

(1) 數值計算例

(a) 電流計算

負荷의 톤크 $4[N-m]$, 回轉子 스티프 0.04, S.C.R의 導電角 90° 일 때 式(9)의 電流를 各項別로 그려보면 그림 (10)과 같다. 이 그림 중 曲線(5)는 全體合成電流이다. 式(10)에 依하여 電流의 實効值를 計算하면

$$I = \sqrt{\frac{333}{3.14}} = 10.3[A]$$

實測值은 10.2[A]이다. [그림 (8) 참조]

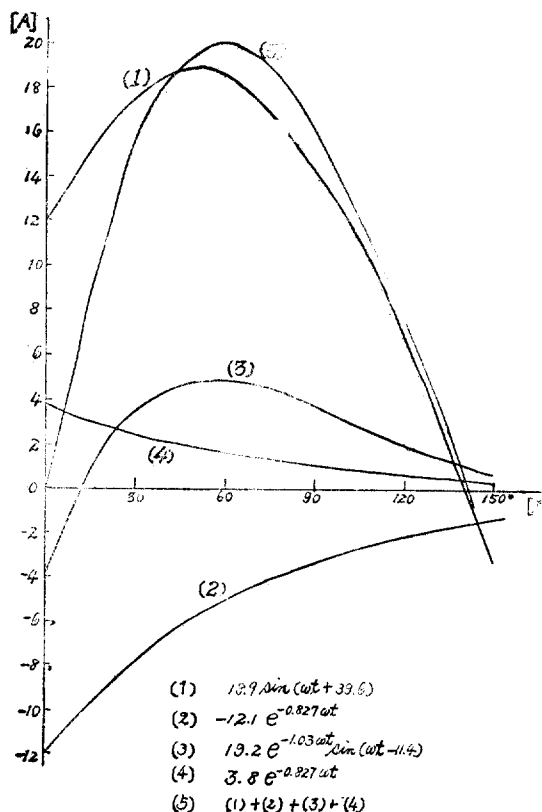


그림 10 電流의 計算例

Fig. 10 Example of calculated current values.

(b) 入力計算

부하의 톤크 $4[N-m]$, 回轉子 스티프 0.04, S.C.R의

導電角 90° 일 때 電力を 그려보면 그림 11과 같다. 이때 平均電力を 求하면

$$W = 537 [W]$$

이다. 電流가 호르지 않는期間은 $33^\circ < \omega t < 90^\circ$ 이고 前節서 얻은 結果를 利用하면 鐵損, 風損 및 機械損은 79[W]이다.

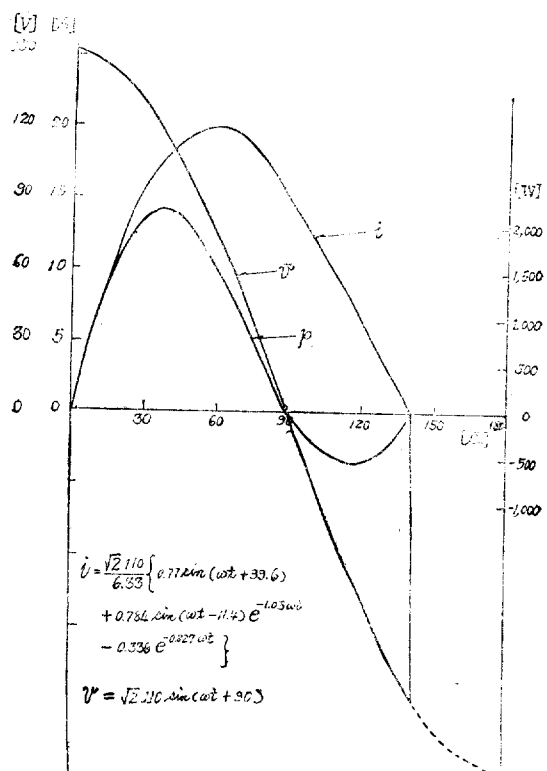


그림 11 電力計算例

Fig. 11. Example of calculated power values

그려므로 全體入力은 616[W]이고 實測值은 617[W]이다.

(c) 톤크計算

위의 경우에 式(14)로 톤크를 計算하면

$$T = \frac{0.5}{188.5} \times (10.3)^2 (4.5 - 0.19) = 2.36 [N-m]$$

이며 實測值은 2.45[N-m]이다.

(2) 톤크-速度特性

그림 12와 같이 S.C.R의 Gate 入力位相을 조정하여 電壓의 導電角을 변화시켰을때의 톤크-速度特性은 誘導電動機에 印加한 電壓의 크기를 變化시킨 톤크-速度特性과 비슷한것을 알 수 있다. 그려므로 T_{n1} 과 같이 일정

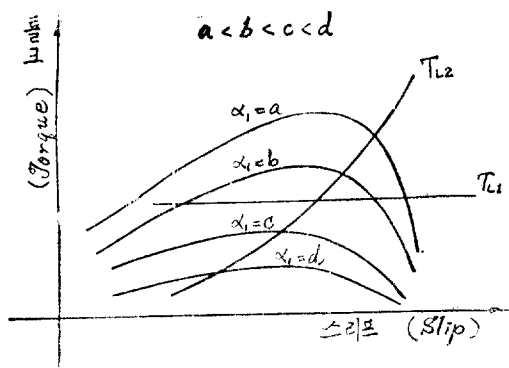


그림 12 導電角 α 變化時 톤크-Slip 曲線과 負荷曲線
Fig. 12. Torque-slip Characteristics and load characteristics for the case when conduction starting angle is varied.

톤크負荷에 對하여는 速度制御를 할수 없으나 T_{L2} 와 같은 톤크特性를 가진 負荷에 對해서는 導電角을 變化시키어 速度制御를 連續的으로 할수 있음을 알 수 있다.

[5] 結論

(1) 本論에서와 같이 S.C.R. 依한 單相誘導電動機

의 荷運轉特性은 從來의 方法으로 求한 質制機定數를 以서 本論에서 擇한 解析法으로 特性을 計算하면 電流, 電力 톤크特性들이 實驗值와 一致함을 알 수 있다.

(2) 이 特性中 톤크-速度特性은 S.C.R. 回路의 電流位相을 조정하므로서 變化하는데 이는 마치 電源電壓變化와 같은 結果로 나타났다. 그려므로 선통기 같은 負荷의 速度調整에 있어서는 電壓變化法이나 周波數變換法보다 이 方法이 더 適合하리라고 料된다.

(3) 一定톤크 負荷에 對하여 導電角을 變化시켰을 경우 電壓이 变化하지 않는 期間中の 鐵損減少에 依하여 効率이 改善된다.

끝으로 本研究에 많은 協力を 하여주신 本大學 黃熙隆 韓松暉 兩先生에게 深甚한 謝意를 表示하는 바이다.

[6] 參考文獻

- (1) 誘導機器 朴夏鎭教授著
- (2) Electric Machinery, 2nd edition, Fitzgerald & Kingsley McG. Hill.
- (3) 電動機制御工學 尾山純一 Ohm 社
- (4) 非同期機實回路理論 竹内壽太郎 Ohm 社
- (5) S.C.R. 와 그應用